

本文引用: 周秀, 朱洪斌, 廖晓现. 血清内皮细胞特异性分子 1、低氧诱导因子 1 $\alpha$  水平与不稳定型心绞痛 PCI 术后支架内再狭窄的相关性分析[J]. 中国动脉硬化杂志, 2022, 30(4): 347-351.

[文章编号] 1007-3949(2022)30-04-0347-05

· 临床研究 ·

## 血清内皮细胞特异性分子 1、低氧诱导因子 1 $\alpha$ 水平与不稳定型心绞痛 PCI 术后支架内再狭窄的相关性分析

周秀, 朱洪斌, 廖晓现

(重庆开州区人民医院心血管内科, 重庆市 405400)

[关键词] 内皮细胞特异性分子 1; 低氧诱导因子 1 $\alpha$ ; 不稳定型心绞痛; 经皮冠状动脉介入治疗; 支架内再狭窄

[摘要] 目的 探讨不稳定型心绞痛(UAP)患者经皮冠状动脉介入治疗(PCI)后血清内皮细胞特异性分子 1(ESM-1)、低氧诱导因子 1 $\alpha$ (HIF-1 $\alpha$ )水平与支架内再狭窄(ISR)的相关性。方法 选取 2018 年 3 月—2019 年 4 月于本院行 PCI 术的 202 例 UAP 患者为研究对象, 根据术后随访 1 年内是否发生 ISR 将患者分为两组: ISR 组 56 例和非 ISR 组 146 例。采用酶联免疫吸附法检测患者 PCI 术后 24 h 血清 ESM-1、HIF-1 $\alpha$  水平。分析血清 ESM-1 与 HIF-1 $\alpha$  水平对 ISR 的预测价值及影响 ISR 的因素。结果 ISR 组吸烟史比例、血糖、LDLC 水平、血清 ESM-1、HIF-1 $\alpha$  水平高于非 ISR 组, 差异有统计学意义( $P<0.05$ )。UAP PCI 术后 ISR 患者血清 ESM-1 水平与 HIF-1 $\alpha$  水平呈正相关( $r=0.545, P<0.05$ )。血清 ESM-1、HIF-1 $\alpha$  预测 UAP 患者 PCI 术后 ISR 的 ROC 曲线下面积(AUC)分别为 0.913、0.851, 特异度分别为 87.0%、74.0%, 灵敏度分别为 82.1%、85.7%; 二者联合预测的 AUC 为 0.936, 特异度为 91.8%, 灵敏度为 78.6%。ESM-1( $\geq 2.42 \mu\text{g/L}$ )、吸烟是影响 UAP 患者 PCI 术后 ISR 的独立危险因素( $P<0.05$ )。结论 UAP 患者 PCI 术后血清 ESM-1、HIF-1 $\alpha$  水平增高与 ISR 发生密切相关。

[中图分类号] R54

[文献标识码] A

## Correlation analysis of serum endothelial cell specific molecule-1, hypoxia-inducible factor-1 $\alpha$ levels and in-stent restenosis after PCI in patients with unstable angina pectoris

ZHOU Xiu, ZHU Hongbin, LIAO Xiaoxian

(Department of Cardiology, Kaizhou District People's Hospital, Chongqing 405400, China)

[KEY WORDS] endothelial cell specific molecule-1; hypoxia-inducible factor-1 $\alpha$ ; unstable angina pectoris; percutaneous coronary intervention; in-stent restenosis

[ABSTRACT] Aim To investigate the correlation between serum endothelial cell specific molecule-1 (ESM-1), hypoxia-inducible factor-1 $\alpha$  (HIF-1 $\alpha$ ) levels and in-stent restenosis (ISR) after percutaneous coronary intervention (PCI) in patients with unstable angina pectoris (UAP). Methods 202 patients with UAP who underwent PCI in our hospital from March 2018 to April 2019 were selected as the research objects. According to whether ISR occurred within 1 year of postoperative follow-up, the patients were divided into two groups: 56 cases in ISR group and 146 cases in non-ISR group. Enzyme-linked immunosorbent assay was used to detect serum ESM-1 and HIF-1 $\alpha$  levels in patients 24 h after PCI. The predictive value of serum ESM-1 and HIF-1 $\alpha$  levels on ISR and the factors affecting ISR were analyzed.

Results The proportion of smoking history, blood glucose, LDLC level, serum ESM-1 and HIF-1 $\alpha$  levels in the ISR group were higher than those in the non-ISR group, and the difference was statistically significant ( $P<0.05$ ). Serum ESM-1 levels were positively correlated with HIF-1 $\alpha$  levels in ISR patients after UAP PCI ( $r=0.545, P<0.05$ ). The area under the ROC curve (AUC) of serum ESM-1 and HIF-1 $\alpha$  predicting ISR in UAP patients after PCI were 0.913 and 0.851, re-

[收稿日期] 2020-09-15

[修回日期] 2020-10-28

[基金项目] 国家自然科学基金项目(81500224)

[作者简介] 周秀, 主治医师, 研究方向为冠心病、心律失常尤其是心房颤动, E-mail 为 zkv730@163.com。通信作者廖晓现, 硕士, 副主任医师, 研究方向为冠心病, E-mail 为 x9irik@163.com。

spectively, the specificities were 87.0% and 74.0%, and the sensitivities were 82.1% and 85.7%, respectively; the AUC of the joint prediction of the two was 0.936, the specificity was 91.8%, and the sensitivity was 78.6%. ESM-1 ( $\geq 2.42 \mu\text{g/L}$ ) and smoking were the independent risk factors affecting ISR in UAP patients after PCI ( $P < 0.05$ ).

**Conclusion** Increased serum ESM-1 and HIF-1 $\alpha$  levels are closely related to the occurrence of ISR after PCI in UAP patients.

经皮冠状动脉介入治疗( percutaneous coronary intervention, PCI)是临幊上治疗不同类型冠心病常用的一种有效方法,对闭塞冠状动脉血运重建发挥重要作用<sup>[1]</sup>。但 PCI 术后易发生支架内再狭窄(in-stent restenosis, ISR),可增加心肌梗死发生率,进而出现血管性死亡等不良心血管事件,严重影响患者预后<sup>[2]</sup>。因此,临幊上明确 PCI 术后再狭窄的多种危险因素,对改善患者预后有重要意义。内皮细胞特异性分子 1 (endothelial cell specific molecule-1, ESM-1)主要由活化的内皮细胞分泌,其表达水平受多种细胞因子调节,研究表明,ESM-1 与心血管疾病有重要联系<sup>[3]</sup>。低氧诱导因子 1 $\alpha$  (hypoxia-inducible factor-1 $\alpha$ , HIF-1 $\alpha$ )在多种心脏不良事件的低氧适应性反应中均发挥重要调控作用,可改善心肌缺血、缺氧。Rahbari-Oskoui 等<sup>[4]</sup>研究表明,ESM-1、HIF-1 $\alpha$  共同参与多囊肾的疾病进展。目前关于 ESM-1、HIF-1 $\alpha$  与不稳定型心绞痛(unstable angina pectoris, UAP)患者 PCI 术后 ISR 相关性的研究较少,因此,本研究通过探讨 PCI 术后血清 ESM-1、HIF-1 $\alpha$  水平与 ISR 的相关性,以期为临床 ISR 的预防提供理论依据。

## 1 资料和方法

### 1.1 研究分组与入选标准

选取 2018 年 3 月—2019 年 4 月于本院住院治疗并行 PCI 术的 202 例 UAP 患者为研究对象,根据术后随访 1 年内是否发生 ISR 将患者分为 ISR 组 56 例和非 ISR 组 146 例,其中 ISR 组患者年龄 46~73 岁,平均( $59.14 \pm 11.64$ )岁,男 34 例,女 22 例;非 ISR 组患者年龄 43~72 岁,平均( $58.43 \pm 12.82$ )岁,男 89 例,女 57 例。

纳入标准:①符合 UAP 诊断标准<sup>[5]</sup>;②病例资料及造影信息齐全;③无心脏附壁血栓、心脏瓣膜病、心功能不全;④未合并肿瘤、肝肾功能不全及感染性疾病;⑤经本院临床研究伦理委员会批准,自愿参加。排除标准:①有凝血功能障碍;②出院后未遵从医嘱规律用药;③支架置入术后死于其他疾病;④30 天内有重大手术史。

### 1.2 主要试剂与仪器

ESM-1 酶联免疫吸附法 (enzyme-linked immunosorbent assay, ELISA) 试剂盒(货号:EK0752)购自上海恒斐生物科技有限公司;HIF-1 $\alpha$  ELISA 试剂盒(货号:YS06840B)购自上海雅吉生物科技有限公司。酶标仪(型号:AMR-100)购自杭州奥盛仪器有限公司;心血管造影机(型号:INNOVA 2000)购自美国 GE 公司;全自动生物化学分析仪(型号:PUZS-300)购自上海帝博思生物科技有限公司。

### 1.3 样本采集及 ESM-1、HIF-1 $\alpha$ 检测

采集患者 PCI 术后 24 h 晨起空腹外周静脉血样,3 000 r/min 离心 15 min 后收集血清,置于-80 °C 保存待测。采用 ELISA 检测血清 ESM-1、HIF-1 $\alpha$  水平,操作步骤严格按照试剂盒说明书进行。

### 1.4 资料收集

查阅门诊及住院病历,收集患者一般资料,包括性别、年龄、病程、体质指数 (body mass index, BMI)、吸烟史、饮酒史、血糖、病变位置、病变数量、糖化血红蛋白、支架长度、支架直径、甘油三酯 (tri-glyceride, TG)、总胆固醇 (total cholesterol, TC)、低密度脂蛋白胆固醇 (low density lipoprotein cholesterol, LDLC)、高密度脂蛋白胆固醇 (high density lipoprotein cholesterol, HDLC)、高血压、糖尿病、高血脂等。

### 1.5 术后处理

PCI 术后对患者进行水化治疗,终身阿司匹林治疗,使用氯吡格雷至少 1 年半,同时根据患者病情变化及基础疾病,使用  $\beta$  受体阻滞剂、硝酸酯类药物、血管紧张素转换酶抑制剂、他汀类药物等,并对患者展开对症治疗。

### 1.6 术后 ISR 评定

PCI 术后随访 1 年,随访时间截止为 2020 年 4 月。随访期间患者自愿复查或因再次出现胸闷、胸痛症状行冠状动脉造影。支架内或支架两端 5 mm 范围内管腔直径狭窄程度 $>50\%$ 则定义为 ISR<sup>[6]</sup>。

### 1.7 统计学分析

利用 SPSS 23.0 对数据进行统计学分析,计量资料符合正态分布,以  $\bar{x} \pm s$  表示,两组间比较行  $t$  检验;计数资料以例表示,组间比较行卡方检验;采用受试者工作特征曲线 (receiver operating characteristic

curve, ROC) 分析血清 ESM-1、HIF-1 $\alpha$  水平对 UAP 患者 PCI 术后 ISR 的预测价值(串联法);采用多因素 Logistic 回归分析影响 UAP 患者 PCI 术后 ISR 的因素。 $P<0.05$  代表差异有统计学意义。

## 2 结 果

### 2.1 ISR 组与非 ISR 组一般资料比较

ISR 组与非 ISR 组性别、年龄、病程、BMI、饮酒史、病变位置、病变支数、支架长度、支架直径、糖化血红蛋白、TG、TC、HDLC、高血压、糖尿病、高血脂比较,差异均无统计学意义( $P>0.05$ );ISR 组吸烟史、血糖、LDLC 水平高于非 ISR 组,差异有统计学意义( $P<0.05$ ;表 1)。

表 1. ISR 组与非 ISR 组一般资料比较

Table 1. Comparison of general data between ISR group and non-ISR group

分组	非 ISR 组 (n=146)	ISR 组 (n=56)	t/ $\chi^2$	P
男/女/例	89/57	34/22	0.001	0.975
年龄/岁	58.43±12.82	59.14±11.64	0.361	0.718
病程/年	0.95±0.40	1.00±0.35	0.822	0.412
BMI/(kg/m <sup>2</sup> )	25.65±2.67	26.33±2.59	1.634	0.104
吸烟史/例	24	20	8.827	0.003
饮酒史/例	32	19	3.094	0.079
病变位置(左主干/左回旋支/右冠状动脉)/例	41/46/59	17/16/23	0.191	0.909
病变支数(单支/多支)/例	48/98	23/33	1.192	0.275
支架长度/mm	22.58±5.93	22.41±6.25	0.180	0.858
支架直径/mm	2.71±0.54	2.59±0.43	1.491	0.138
血糖/(mmol/L)	7.95±2.04	10.62±1.41	8.998	0.000
糖化血红蛋白/(mmol/L)	7.58±1.47	7.62±1.52	0.171	0.864
TG/(mmol/L)	1.89±0.65	2.02±0.59	1.304	0.194
TC/(mmol/L)	4.51±1.02	4.56±0.94	0.319	0.750
LDLC/(mmol/L)	2.83±1.72	4.79±2.04	6.875	0.000
HDLC/(mmol/L)	0.96±0.41	0.92±0.36	0.641	0.522
高血压/例	56	24	0.343	0.558
糖尿病/例	45	20	0.444	0.505
高血脂/例	34	15	0.270	0.604

### 2.2 ISR 组与非 ISR 组血清 ESM-1、HIF-1 $\alpha$ 水平比较

ISR 组血清 ESM-1、HIF-1 $\alpha$  水平高于非 ISR 组,

差异有统计学意义( $P<0.05$ ;表 2)。UAP PCI 术后 ISR 患者血清 ESM-1 水平与 HIF-1 $\alpha$  水平呈正相关( $r=0.545, P<0.05$ )。

表 2. ISR 组与非 ISR 组血清 ESM-1、HIF-1 $\alpha$  水平比较

Table 2. Comparison of serum ESM-1 and HIF-1 $\alpha$  levels between ISR group and non-ISR group

分组	ESM-1/( $\mu\text{g}/\text{L}$ )	HIF-1 $\alpha$ /(ng/L)
非 ISR 组(n=146)	2.28±0.14	20.26±4.26
ISR 组(n=56)	2.57±0.16	26.63±4.24
t	12.656	9.525
P	0.000	0.000

### 2.3 血清 ESM-1、HIF-1 $\alpha$ 水平对 UAP 患者 PCI 术后 ISR 的预测价值

以血清 ESM-1、HIF-1 $\alpha$  单个指标检验值及二者联合预测概率值为检验变量绘制 ROC 曲线(串联法),结果显示,血清 ESM-1、HIF-1 $\alpha$  预测 UAP 患者 PCI 术后 ISR 的曲线下面积(area under curve, AUC)分别为 0.913(95% CI: 0.869 ~ 0.957)、0.851(95% CI: 0.793 ~ 0.909),截断值分别为 2.42  $\mu\text{g}/\text{L}$ 、23.47 ng/L,特异度分别为 87.0%、74.0%,灵敏度分别为 82.1%、85.7%;二者联合预测的 AUC 为 0.936(95% CI: 0.901 ~ 0.970),特异度为 91.8%,灵敏度为 78.6%。见图 1。

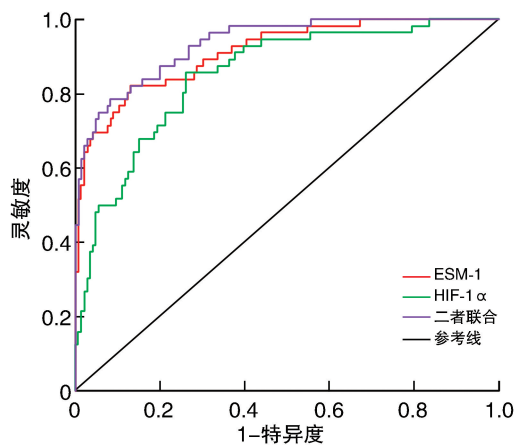


图 1. 血清 ESM-1、HIF-1 $\alpha$  对 UAP 患者 PCI 术后 ISR 的预测价值

Figure 1. Predictive value of serum ESM-1 and HIF-1 $\alpha$  on ISR after PCI in UAP patients

### 2.4 影响 UAP 患者 PCI 术后 ISR 的多因素 Logistic 回归分析

将 UAP 患者 PCI 术后是否发生 ISR 作为因变

量,采用逐步法排除性别、年龄、病程等与 PCI 术后发生 ISR 相关性较小的因素,以 ESM-1、HIF-1 $\alpha$ 、血糖、LDLC、吸烟史为自变量进行多因素 Logistic 回归分析。变量赋值如下:ESM-1, < 2.42  $\mu\text{g/L}$  为 0,  $\geq 2.42 \mu\text{g/L}$  为 1; HIF-1 $\alpha$ , < 23.47 ng/L 为 0,  $\geq 23.47 \text{ ng/L}$  为 1; 血糖, < 10.62 mmol/L 为 0,  $\geq 10.62 \text{ mmol/L}$  为 1; LDLC, < 4.79 mmol/L 为 0,  $\geq 4.79 \text{ mmol/L}$  为 1; 吸烟史, 否为 0, 是为 1。结果显示, ESM-1 ( $\geq 2.42 \mu\text{g/L}$ )、吸烟是影响 UAP 患者 PCI 术后 ISR 的独立危险因素 ( $P < 0.05$ ; 表 3)。

**表 3. 影响 UAP 患者 PCI 术后 ISR 的多因素 Logistic 回归分析**

**Table 3. Multivariate Logistic regression analysis of ISR in UAP patients after PCI**

变量	B	SE	Wald	OR	95% CI	P
ESM-1	0.745	0.513	2.109	2.107	1.492 ~ 2.976	0.003
HIF-1 $\alpha$	0.226	0.317	0.508	1.254	0.528 ~ 2.976	0.058
血糖	0.198	0.167	1.406	1.219	0.475 ~ 3.129	0.069
LDLC	0.360	0.527	0.467	1.434	0.669 ~ 3.073	0.072
吸烟史	0.710	0.486	2.134	2.034	1.372 ~ 3.016	0.013

### 3 讨 论

随着目前 PCI 技术的成熟及临床应用的日益普遍,PCI 术后 ISR 的发生率也随之升高<sup>[7]</sup>。ISR 可能与血栓形成、内皮细胞过度增殖、支架弹性回缩等有关,其发生原因及机制较为复杂,目前仍无较为明确的指示指标<sup>[8]</sup>。以往研究中对 ISR 的危险因素主要集中于年龄、吸烟、血糖、血脂等方面<sup>[9]</sup>,关于血清 ESM-1、HIF-1 $\alpha$  与 ISR 的相关性研究较少。

ESM-1 是一种硫酸皮肤素蛋白聚糖,新生血管形成或内皮细胞受损时其合成量增加<sup>[10]</sup>。研究表明,心血管异常时,血管内皮细胞中促炎因子通过蛋白激酶 C/核因子  $\kappa$ B 信号通路诱导 ESM-1 表达量增加<sup>[11]</sup>。本研究结果显示,UAP PCI 术后 ISR 患者血清 ESM-1 水平显著高于非 ISR 患者,且 ESM-1 是影响 UAP 患者 PCI 术后 ISR 的独立危险因素,提示 ESM-1 高水平可能促进 ISR 的发生。分析其可能原因为:UAP 患者血管内皮功能发生异常,导致各种生长因子、促炎介质的表达和释放增多,促炎因子调控蛋白激酶 C/核因子  $\kappa$ B 信号通路使得 ESM-1 高表达,而 ESM-1 可进一步导致收缩压升高,促进动脉血管平滑肌增殖和迁移,加速疾病进

程,进而增加 ISR 的发生率。血清 ESM-1 对 UAP 患者 PCI 术后 ISR 有较高的预测价值,AUC 为 0.913;当 PCI 术后患者血清 ESM-1 水平升高,且高于其截断值 2.42  $\mu\text{g/L}$  时,患者发生 ISR 的概率较高。

HIF-1 $\alpha$  的 C 末端是活性调控区域,能感受缺氧信号,且受缺氧信号调控<sup>[12]</sup>。当机体内缺氧时,HIF-1 $\alpha$  与 HIF-1 $\beta$  结合形成复合物,进而激活下游相关靶基因,调节一系列细胞因子和生长介质的基因表达及蛋白质合成,调控体内多种病理、生理活动<sup>[13-14]</sup>。研究<sup>[15]</sup>表明,缺氧状态下 HIF-1 $\alpha$  可刺激血管平滑肌收缩,抑制红细胞增殖,进而调控冠心病患者心肌缺血。本研究结果中 UAP PCI 术后 ISR 患者血清 HIF-1 $\alpha$  水平高于非 ISR 患者。提示 HIF-1 $\alpha$  的高表达可能参与 PCI 术后 ISR 的发生、发展,推测可能是由于 UAP 患者在病理状态下,心肌细胞处于缺氧状态,此时 HIF-1 $\alpha$  可通过刺激血管新生、抑制血小板凝聚和红细胞增殖而影响心肌细胞,调控心肌缺血,进而影响疾病的进展及 ISR 的发生。HIF-1 $\alpha$  预测 UAP 患者 PCI 术后 ISR 的 AUC 为 0.851,特异度为 74.0%,其预测价值及特异度均低于 ESM-1,但灵敏度较高,为 85.7%。而 ESM-1、HIF-1 $\alpha$  联合的预测价值高于单独检测,临床中可考虑将二者联合作为预测 UAP 患者 PCI 术后 ISR 的参考指标。

综上所述,血清 ESM-1、HIF-1 $\alpha$  高表达对 UAP 患者 PCI 术后 ISR 的发生均有重要影响,可作为辅助指标评估患者预后。有效控制患者术后 ESM-1、HIF-1 $\alpha$  水平,可能有助于预防 ISR 的发生。但本研究作为回顾性研究,研究病例均来自本院,无法完全排除病例选择偏倚因素,需进一步研究证实,且其具体作用机制仍不明确,今后需进一步获取冠状动脉血和血内皮祖细胞,增加 ESM-1、HIF-1 $\alpha$  在其他血样及细胞中表达水平的比较,进而做进一步研究验证。

### [参考文献]

- [1] HUDED C P, KAPADIA S R, BALLOUT J A, et al. Association of adoption of transradial access for percutaneous coronary intervention in ST elevation myocardial infarction with door-to-balloon time[J]. Catheter Cardio Inte, 2020, 96(2): 165-173.
- [2] ZHAO S G, XU J J, TAO Z H, et al. CHA<sub>2</sub>DS<sub>2</sub>-Vasc score and CHA<sub>2</sub>DS<sub>2</sub>-Vasc-HS score are poor predictors of in-stent restenosis among patients with coronary drug-eluting stents[J]. J Int Med Res, 2019, 47(6): 2533-2544.
- [3] 周福亮, 贾大林. 内皮细胞特异分子-1 在心血管疾病中的研究进展[J]. 解剖科学进展, 2018, 24(5):

- 554-557.
- [4] RAHBARI-OSKOUI F, CHAPMAN A. Hypoxia-inducible factor 1 $\alpha$  (HIF-1 $\alpha$ ), angiopoietin-2 (Ang-2) and endocan: novel biomarkers of disease progression involving polycystic kidney disease [J]. Am J Nephrol, 2018, 47(4): 228-230.
- [5] 中华医学会心血管病学分会, 中华心血管病杂志编辑委员会. 非 ST 段抬高型急性冠状动脉综合征诊断和治疗指南(2016)[J]. 中华心血管病杂志, 2017, 45(5): 359-376.
- [6] 程诚, 王鑫. 冠心病合并 2 型糖尿病患者 PCI 术后支架内再狭窄危险因素分析[J]. 中国循证心血管医学杂志, 2018, 10(2): 196-198.
- [7] ZUK G, CIECWIERZ D, DREWLA P, et al. Challenging treatment of in-stent restenosis in a coronary bifurcation by implantation of a bioresorbable scaffold under optical coherence tomography guidance[J]. Cardiol J, 2019, 26(3): 304-306.
- [8] WANG J L, QIN Z, WANG Z J, et al. New predictors of in-stent restenosis in patients with diabetes mellitus undergoing percutaneous coronary intervention with drug-eluting stent[J]. J Geriatr Cardiol, 2018, 15(2): 137-145.
- [9] 张静, 赵会连. PCI 术前 Lp(a)、MAU 蛋白水平与冠心病术后冠状动脉再狭窄的关系研究[J]. 中西医结合心脑血管病杂志, 2019, 17(18): 2834-2836.
- [10] ZHAO L, DAI C, GONG Q. Changes of endocan and its effect on hepatic stem cells during the rapid proliferation process of residual liver after ALPPS procedure[J]. Cell Biochem Funct, 2020, 38(6): 817-825.
- [11] YANG C, SONG H W, LIU W, et al. Protective effects of chymostatin on paraquat-induced acute lung injury in mice[J]. Inflammation, 2018, 41(1): 122-133.
- [12] 韦皓, 许玉霞, 秦莉, 等. HIF-1 $\alpha$  通过 TLR4/NF- $\kappa$ B 信号通路对心肌缺血-再灌注大鼠心肌损伤的保护机制分析[J]. 临床和实验医学杂志, 2019, 18(10): 13-16.
- [13] LIU D W, ZHANG Y N, HU H J, et al. Downregulation of microRNA-199a-5p attenuates hypoxia/reoxygenation-induced cytotoxicity in cardiomyocytes by targeting the HIF-1 $\alpha$ -GSK3 $\beta$ -mPTP axis[J]. Mol Med Rep, 2019, 19(6): 5335-5344.
- [14] 张本凯, 王政, 朱峰, 等. PHD2/HIF-1 $\alpha$  介导  $\beta$ -AR 调控大鼠心梗后心力衰竭[J]. 中华急诊医学杂志, 2020, 29(2): 239-242.
- [15] 仇慧颖, 耿威. 冠心病患者血清 miR-34a 和 HIF-1 $\alpha$  水平与冠状动脉侧支循环形成的相关性研究[J]. 重庆医学, 2019, 48(12): 2139-2141.
- (此文编辑 曾学清)

(上接第 334 页)

- [16] YUNIATI L, SCHEIJEN B, VAN DER MEER L T, et al. Tumor suppressors BTG1 and BTG2: beyond growth control[J]. J Cell Physiol, 2019, 234(5): 5379-5389.
- [17] CHOI Y W, PARK T J, KIM H S, et al. Signals regulating necrosis of cardiomyoblast by BTG2 (/TIS21/PC3) via activation of GSK3 $\beta$  and opening of mitochondrial permeability transition pore in response to H<sub>2</sub>O<sub>2</sub>[J]. Biochem Biophys Res Commun, 2013, 434(3): 559-565.
- [18] TONG Z, JIANG B, WU Y, et al. MiR-21 protected cardiomyocytes against doxorubicin-induced apoptosis by targeting BTG2[J]. Int J Mol Sci, 2015, 16(7): 14511-14525.
- [19] JEONG D, YOO J, LEE P, et al. miR-25 tough decoy enhances cardiac function in heart failure[J]. Mol Ther, 2018, 26(3): 718-729.
- [20] LIU Q, WANG Y, YANG T, et al. Protective effects of miR-25 against hypoxia/reoxygenation induced fibrosis and apoptosis of H9c2 cells[J]. Int J Mol Med, 2016, 38(4): 1225-1234.
- [21] GENZ B, COLEMAN M A, IRVINE K M, et al. Overexpression of miRNA-25-3p inhibits Notch1 signaling and TGF- $\beta$ -induced collagen expression in hepatic stellate cells[J]. Sci Rep, 2019, 9(1): 8541.
- [22] MASUMURA Y, HIGO S, ASANO Y, et al. Btg2 is a negative regulator of cardiomyocyte hypertrophy through a decrease in cytosolic RNA[J]. Sci Rep, 2016, 6: 28592.
- [23] FUKAI T, USHIO-FUKAI M. Superoxide dismutases: role in redox signaling, vascular function, and diseases[J]. Antioxid Redox Signal, 2011, 15(6): 1583-1606.
- [24] SU H, WAN C, SONG A, et al. Oxidative stress and renal fibrosis: mechanisms and therapies[J]. Adv Exp Med Biol, 2019, 1165: 585-604.
- [25] KWAK H B, LEE Y, KIM J H, et al. MnSOD overexpression reduces fibrosis and pro-apoptotic signaling in the aging mouse heart[J]. J Gerontol A Biol Sci Med Sci, 2015, 70(5): 533-544.
- [26] IKEGAMI T, SUZUKI Y, SHIMIZU T, et al. Model mice for tissue-specific deletion of the manganese superoxide dismutase (MnSOD) gene[J]. Biochem Biophys Res Commun, 2002, 296(3): 729-736.
- (此文编辑 许雪梅)